

Рис. 6. Карты изолиний аномального магнитного поля Та (а, в) и ортогональные сечения 3D-диаграмм квазиамплитудности горных пород (б, г) гайтов Вулканолог (слева) и Коцебу (справа).  
I - эпицентры магнитных аномалий.

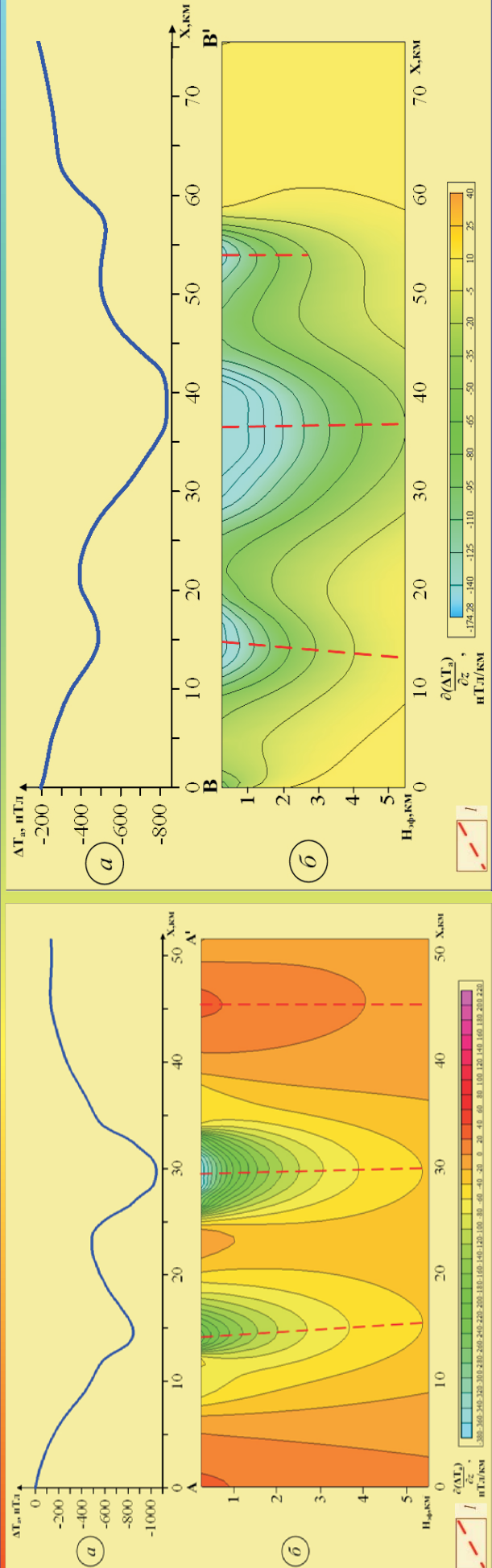


Рис. 7. Вертикальный разрез по линии А-А' гайта Вулканолог.  
а - аномальное магнитное поле ΔТз;  
б - 2D-распределение квазиамплитудности горных пород;  
I - оси предполагаемых подводящих каналов.

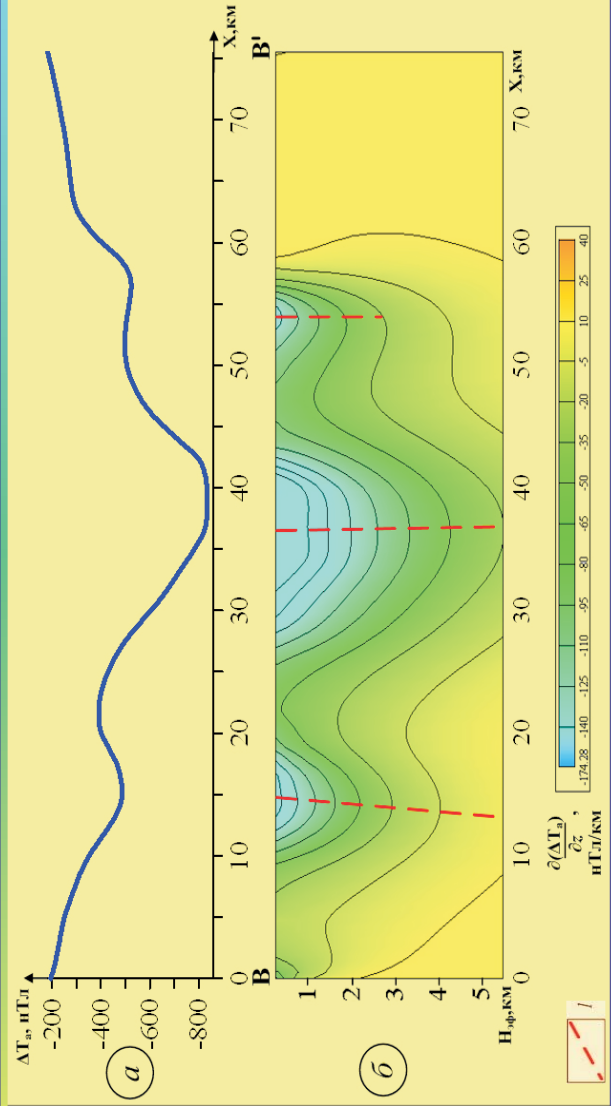


Рис. 8. Вертикальный разрез по линии В-В' гайта Коцебу.  
а - аномальное магнитное поле ΔТз; б - 2D-распределение квазиамплитудности горных пород;  
I - оси предполагаемых подводящих каналов.